

В. В. БЕЛЫЙ

**К ВОПРОСУ О МЕХАНИЗМЕ АВТОСТАБИЛИЗАЦИИ ПЛАМЕНИ  
В КАМЕРЕ СГОРАНИЯ ЖИДКОСТНОГО РАКЕТНОГО ДВИГАТЕЛЯ**

(Представлено академиком В. П. Глушко 11 V 1971)

Один из реализуемых в технике механизмов стабилизации пламени в проточной камере сгорания связан с явлением переноса горячих продуктов реакций в зону подготовительных процессов вихревыми токами, возникающими благодаря пространственной неоднородности поля скоростей. Такой механизм типичен для высокотемпературных реакторов, не содержащих специальных стабилизаторов пламени — например, для жидкостных ракетных двигателей. В монографии <sup>(1)</sup> отмечена особая роль вихревого поля в отношении устойчивости горения, хотя количественная сторона вопроса не рассмотрена.

О стабильности процесса горения обычно судят по характеру осциллограмм давления. Однако уже из элементарной теории проточных камер сгорания следует, что отсутствие интенсивных пульсаций давления — лишь необходимый, а совсем не достаточный признак жесткой стабилизации пламени. Это утверждение, имеющее довольно прозрачный физический смысл, непосредственно вытекает из уравнений, на которых основана теория внутрикамерной низкочастотной неустойчивости горения <sup>(2)</sup>.

Будем описывать процесс горения посредством непрерывной функции  $\varphi(t, \tau)$  (безразмерная степень выгорания к моменту текущего времени  $t$  порции топлива, поступившей в камеру в момент  $t - \tau$ ). В случае, если расход топлива постоянен во времени, основное уравнение теории <sup>(2)</sup> можно записать в виде

$$\theta_g d\varphi / dt + \varphi = -dT / dt, \quad (1)$$

где  $\varphi(t)$  — безразмерные пульсации давления,  $\theta_g$  — характеристическое время камеры сгорания; через  $T(t)$  обозначено среднее время выгорания, которое следует в данном случае определить посредством преобразования

$$T(t) = \int_0^t \tau \frac{\partial \varphi(t, \tau)}{\partial \tau} d\tau. \quad (2)$$

Приведенные формулы показывают, что сколь бы ни были велики пульсации величины  $T(t)$ , они не проявятся заметным образом в регистраграммах давления, если соответствующие процессы протекают достаточно медленно в масштабе времени  $\theta_g$  (величина порядка единиц миллисекунд).

Косвенные указания существования инфранизкочастотных пульсаций величины  $T(t)$  могли бы содержаться в результатах экспериментов, направленных на изучение отдельных сторон процесса горения и выполняемых более информативными методами, чем одна только регистрация давления на устойчивом режиме. Наличие таких нестационарностей могло бы при этом проявиться, например, в повышенном разбросе результатов измерений. Действительно, можно назвать ряд опубликованных исследований указанного типа <sup>(3-6)</sup>, в которых отмечается плохая воспроизводимость экспериментальных результатов. Однако в этих работах отсутству-

ет детальный анализ источников разброса: он включен в состав экспериментальных ошибок.

Недавно автором настоящего сообщения и сотрудниками были получены экспериментальные данные о свойствах процесса  $T(t)$ , которые дают известные основания уделить поставленному вопросу более серьезное внимание. Измерения выполнялись при устойчивом (в обычном смысле) горении топлива газобразный кислород — жидкий аммиак в модельной камере. Были обнаружены интенсивные инфранизкочастотные пульсации величины  $T$  с явно выраженной статистической природой.

На рис. 1 приведены результаты оценки нормированных автокорреляционных функций центрированного процесса  $T(t)$  —  $\bar{T}$  для двух экспериментов длительностью по 10 сек. Среднеквадратичная точность оценок, найденная по формулам теории случайных процессов (<sup>7</sup>), составляет около 30%. При использовании аппроксимирующего выражения  $r_{TT}(\tau) = \exp[-|\tau|/\theta]$  для временного масштаба  $\theta$  получается значение  $\sim 0,7$  сек. Этот результат может показаться тем более странным, что ни одно из характерных времен для экспериментальной камеры сгорания, из числа тех, которые обычно учитываются в теории ЖРД, не превосходит 10 мсек.

Вопрос о возможной физической природе столь низкочастотных процессов представляет несомненный интерес. Ниже предпринята попытка найти соответствующее объяснение, не связанное с гипотезой о нестационарной работе форсунок, к которой прибегли авторы работы (<sup>8</sup>). Обычно при рассмотрении устойчивости горения пренебрегают влиянием пространственной структуры пламени на скорость процессов массо- и теплообмена в зоне подготовки горючей смеси (см., например, (<sup>2</sup>)). В действительности же такое влияние должно иметь место хотя бы за счет воздействия пространственной картины горения на термо- и гидродинамические характеристики стабилизирующего пламя вихревого поля.

При описании соответствующих эффектов следует учитывать релаксацию условий в вихревой зоне относительно изменений пространственной структуры пламени: соответствующее время релаксации  $\theta_r$ , вероятно, может существенно превосходить характеристическое время камеры  $\theta_g$  и время выгорания  $T$ . На рис. 2 изображена структурная схема механизма автостабилизации пламени, в которой учтена указанная обратная связь. Интенсивность подготовительных процессов  $W$  определяет временную структуру пламени  $T$  и, далее — его пространственную структуру  $X$ . Замыкание контура производится связью  $X \rightarrow W$ . Случайные пульсации условий массо- и теплообмена в зоне подготовительных процессов, обусловленные турбулентностью, учитываются независимым генератором возмущений  $\bar{W}$ . Мгновенное состояние каждого из блоков структурной схемы рис. 2 будем описывать переменными  $T(t)$ ,  $X(t)$  и  $W(t)$ . Соответствующие определения могут быть основаны на осреднении посредством интегральных преобразований типа формулы (2).

Пренебрегая инерционностью связей  $T \rightarrow X$  и  $W \rightarrow T$ , припишем им простую функциональную форму.

$$X = X(T); \quad T = T(W + \bar{W}). \quad (3)$$

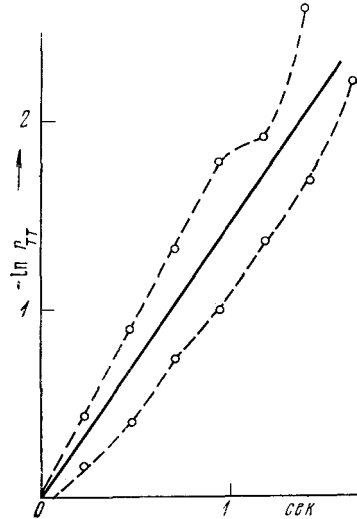
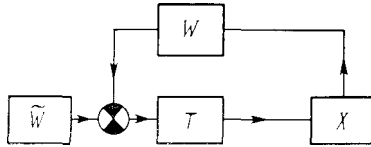


Рис. 1. Две оценки автокорреляционных функций процесса  $T(t)$  —  $\bar{T}$  по экспериментальным данным

Все инерционные свойства контура (включая, прежде всего, релаксационные свойства вихревого поля — см. выше) сосредоточим в звене  $X \rightarrow W$ , описав его посредством уравнения



$$\frac{dW}{dt} + \frac{1}{\theta_r} W = \frac{1}{\theta_r} W_{\text{ст}} [X(t)]. \quad (4)$$

Рис. 2. Структурная схема механизма автостабилизации пламени

Пусть система уравнений  $X = X(T)$ ,  $T = T(W)$ ,  $W_{\text{ст}} = W_{\text{ст}}(X)$  имеет решение  $X_0, T_0, W_0$ , отвечающее стационарному положению пламени. Вопрос о единственности такого решения, представляющий самостоятельный интерес, здесь не рассматривается.

Линеаризуем все три зависимости в окрестности точки  $T_0, X_0, W_0$  и составим разности  $T(t) - T_0, X(t) - X_0, W(t) - W_0$ . Сохранив для этих разностей обозначения  $T(t), X(t)$  и  $W(t)$ , исключим из уравнения (4)  $W_{\text{ст}}$  с помощью линеаризованных зависимостей. В результате получим

$$\frac{dW}{dt} + \frac{1}{\theta_r} (1 - k) W = \frac{k}{\theta_r} \tilde{W}(t), \quad (5)$$

где  $k$  — статический коэффициент передачи контура. Нетрудно показать, что при введенных упрощениях пространственные изменения пламени  $X(t)$  представимы в виде суммы двух случайных процессов: процесса  $x(t)$  удовлетворяющего уравнению

$$\frac{dx}{dt} + \frac{k}{\theta_r} \frac{(1 - k)}{k} x = \frac{k}{\theta_r} \tilde{x}(t), \quad (6)$$

и случайных колебаний  $\tilde{x}(t)$ , которые имели бы место в случае, если бы обратная связь  $X \rightarrow W$  отсутствовала. Статический коэффициент передачи  $k$  есть, очевидно, произведение коэффициентов  $k_{WT} < 0, k_{TX} > 0$  и  $k_{XW}$ . Естественно принять, что  $k_{XW} < 0$ , т. е. удалению пламени от форсуночной головки соответствует уменьшение  $W$ , и наоборот. Последнее означает, что  $k$  (безразмерная величина) — положительное число. Условие устойчивости для уравнения (6) есть, очевидно,  $k < 1$ .

Уравнение (6) аналогично уравнению движения броуновской частицы и вязкой среде при наличии упругой силы

$$\frac{dx}{dt} + \frac{\alpha}{\gamma} x = \frac{\tilde{f}(t)}{\gamma}, \quad (7)$$

где  $\alpha$  — коэффициент упругости подвески,  $\gamma$  — коэффициент вязкого трения,  $\tilde{f}$  — действующая на частицу случайная сила (инерционный член  $m d^2x/dt^2$  опущен). Сравнивая оба уравнения, мы видим, что изменения величин  $\theta_r/k$  и  $(1 - k)/k$  в уравнении (6) действуют в тех же направлениях, что и изменения коэффициента трения  $\gamma$  и упругости подвески  $\alpha$  в формуле (7) соответственно.

Согласно теории броуновского движения <sup>(9)</sup> мы можем ожидать, что при  $k \rightarrow 1$  дисперсия процесса  $x(t)$  должна неограниченно возрастать; одновременно должен увеличиваться характерный временной масштаб блужданий пламени  $\theta_0 = \theta_r / (1 - k)$ . Именно эта величина наиболее просто поддается экспериментальному определению. Нетрудно, в частности, показать, что если процесс  $\tilde{x}(t)$  имеет типичную для турбулентных пульсаций автокорреляционную функцию <sup>(10)</sup>

$$\bar{R}_{xx}(\tau) = \sigma^2 \exp[-|\tau|/\bar{\theta}]$$

( $\bar{\theta}$  — характерный временной масштаб турбулентности), то автокорреляционная функция процесса  $x(t)$  есть

$$R_{xx}(\tau) \approx \sigma^2 \frac{k^2 \bar{\theta}}{(1 - k) \theta_r} \exp[-|\tau|/\bar{\theta}]. \quad (8)$$

Допустим, что в экспериментах, иллюстрируемых рис. 1, природа случайных пульсаций пламени отвечает рассмотренному механизму. Тогда можно утверждать, что оцененный в них временной масштаб  $\theta$  как раз и есть величина  $\theta_0$ .

Легко видеть также, что отношение скорости  $dx/dt$ , с которой возмущенное пламя стремится к стационарному положению, к величине возмущения  $x$ , равно  $1/\theta_0$  (при условии, что случайной компонентой движения мы пренебрегаем). Естественно поэтому выбрать это число с размерностью обратного времени в качестве количественной характеристики жесткости автостабилизации пламени. Его экспериментальная оценка может выполняться методом возмущений, в частности импульсных, при условии, что имеется возможность непрерывного измерения положения пламени.

Рассмотренные явления, в тех случаях, когда они сильно выражены, могут оказаться существенными с точки зрения устойчивости горения в обычном (рэлеевском) смысле. В самом деле, случайные блуждания пламени должны приводить к изменениям динамических параметров, определяющих устойчивость к слабым возмущениям. Если речь идет об изменениях при времени порядка 1 сек. и даже несколько меньше, то задача может рассматриваться в квазистационарном приближении; здесь не лишено смысла говорить об изменяющихся по статистическим законам корнях соответствующих систем характеристических уравнений. Факт потери устойчивости можно при этом рассматривать как случайное событие. Вероятность того, что оно произойдет в течение некоторого заданного интервала времени, определяется статистическими свойствами корней характеристических уравнений. Соответствующая задача относится к области математической статистики. Пути к ее решению указаны в <sup>(11)</sup> (см. <sup>(12)</sup>).

Не исключено, что малая скорость восстановления стационарного положения пламени может быть скрытой причиной некоторых особенностей в поведении ЖРД под действием сильных возмущений. Допустим, что в результате воздействия извне пространственная структура пламени существенно изменилась по сравнению со стационарной. Пусть при этом стационарному положению пламени отвечает устойчивая в линейном приближении система динамических уравнений, а возмущенному — неустойчивая. Если  $\theta_0$  достаточно мало, то за время восстановления стационарного положения пламени вибрационное горение (с линейным механизмом) не успеет развиваться. Если же  $\theta_0$  того же порядка, что и характерное время развития колебаний от уровня шумов, то амплитуда пульсаций может достигнуть ощутимых значений. Дальнейшее поведение системы, спустя время порядка  $\theta_0$  и более, зависит, в частности, от того, в состоянии ли развившаяся неустойчивость поддерживать пламя в возмущенном положении.

Поступило  
29 IV 1971

#### ЦИТИРОВАННАЯ ЛИТЕРАТУРА

- <sup>1</sup> Б. Льюис, Г. Эльбе, Горение, пламя и взрывы в газах, ИЛ, 1968, стр. 555.  
<sup>2</sup> Л. Крокко, Чжен Синь-И, Теория неустойчивости горения в жидкостных ракетных двигателях, ИЛ, 1958, стр. 85. <sup>3</sup> L. Crocco, J. Grey, G. Matthews, Preliminary Measurements of the Combustion Time Lag in a Monopropellant Rocket Motor, V Symposium (Intern) on Combustion, 1955, p. 164. <sup>4</sup> C. Marshall, Burrows, Radiation Processes Related to Oxygen—hydrogen Combustion at High Pressures, X Symposium (Intern) on Combustion, 1965, p. 204. <sup>5</sup> Р. Сойер, П. Паргелис, Е. Макмаллен, Вопр. ракетной техники, № 2 (1969). <sup>6</sup> Ф. Рирдон, Вопр. ракетной техники, № 6 (1966). <sup>7</sup> Д. Бендат, Основы теории случайных шумов и ее применения, ИЛ, 1965, стр. 304. <sup>8</sup> T. Conn, J. Hester, R. Valentine, J. Spacecraft and Rockets, 4, № 12 (1967). <sup>9</sup> А. Эйнштейн, М. Смолуховский, Брауновское движение, Л., 1936, стр. 211. <sup>10</sup> А. С. Монин, А. М. Яглом, Статистическая гидромеханика, 2, М., 1967, стр. 16. <sup>11</sup> А. А. Свешников, Изв. АН СССР, Техническая кибернетика № 3 (1964). <sup>12</sup> В. В. Белый, М. Ф. Диментберг, ДАН, 177, № 5 (1967).